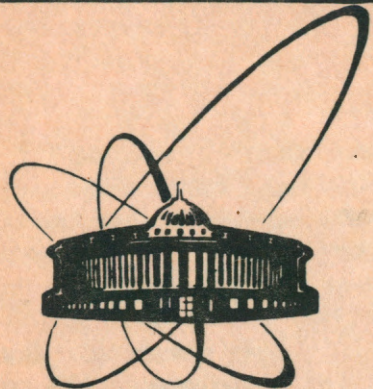


91-207



сообщения  
объединенного  
института  
ядерных  
исследований  
дубна

14-91-207

Н.И.Балалыкин, Ш.Бенечка, С.Хромик,  
С.И.Тютюнников, В.Н.Шаляпин

СПЕКТРЫ ПОГЛОЩЕНИЯ ТОНКИХ ПЛЕНОК

$\text{YBa}_2\text{Cu}_3\text{O}_{7-\delta}$

1991

Балалыкин Н.И. и др.

14-91-207

Спектры поглощения тонких пленок  $\text{YBa}_2\text{Cu}_3\text{O}_{7-\delta}$

Приводятся результаты измерений температурных зависимостей спектров поглощения тонких пленок состава  $\text{YBa}_2\text{Cu}_3\text{O}_{7-\delta}$ . Измерения проведены в интервале температур образцов:  $77 \leq T \leq 300$  К. Обнаружено значительное различие спектров поглощения сверхпроводящих и несверхпроводящих пленок при разных температурах.

Работа выполнена в Лаборатории сверхвысоких энергий ОИЯИ.

Сообщение Объединенного института ядерных исследований. Дубна 1991

Перевод авторов

Balalykin N.I. et al.

14-91-207

Absorption Spectra of Thin Films  $\text{YBa}_2\text{Cu}_3\text{O}_{7-\delta}$

The temperature dependence of absorption spectra measurements of thin films  $\text{YBa}_2\text{Cu}_3\text{O}_{7-\delta}$  is given. The measurements were done in the pattern temperature range  $77$  K  $\leq T \leq 300$  K. A significant distinction in absorption spectra of superconducting and normal films at different temperatures is discovered.

The investigation has been performed at the Particle Physics Laboratory, JINR.

В работах<sup>1-2</sup> проводились исследования спектров отражения и поглощения пленок  $\text{YBa}_2\text{Cu}_3\text{O}_{7-\delta}$  (1-2-3) на подложках  $\text{Mg}; \text{SrTiO}_3$  с целью выявления корреляции оптических характеристик и возможных механизмов сверхпроводимости. Измерения проводились в области длин волн  $\nu \cong 200 \text{ см}^{-1}$ , так что исследовалась фононная структура решетки (1-2-3) и, соответственно, влияние охлаждения. Цель наших исследований — измерение спектров поглощения в ближней области инфракрасного (ИК) диапазона, где проявляется электронная компонента. Измерения проводились на пленках, нанесенных методом испарения из трех источников. В качестве источника Ва использовалась мишень  $\text{BaF}_2$ . Подробно технология описана в работе<sup>3</sup>. В результате технологических процессов были получены однофазные сверхпроводящие пленки с шириной перехода  $T = 4\div 5 \text{ К}$  и началом перехода  $T_{\text{CO}} = 92\div 88 \text{ К}$ . В качестве подложек использованы  $\text{MgO}, \text{Al}_2\text{O}_3, \text{SrTiO}_3$ . Толщина пленок была 100 и 800 нм.

11

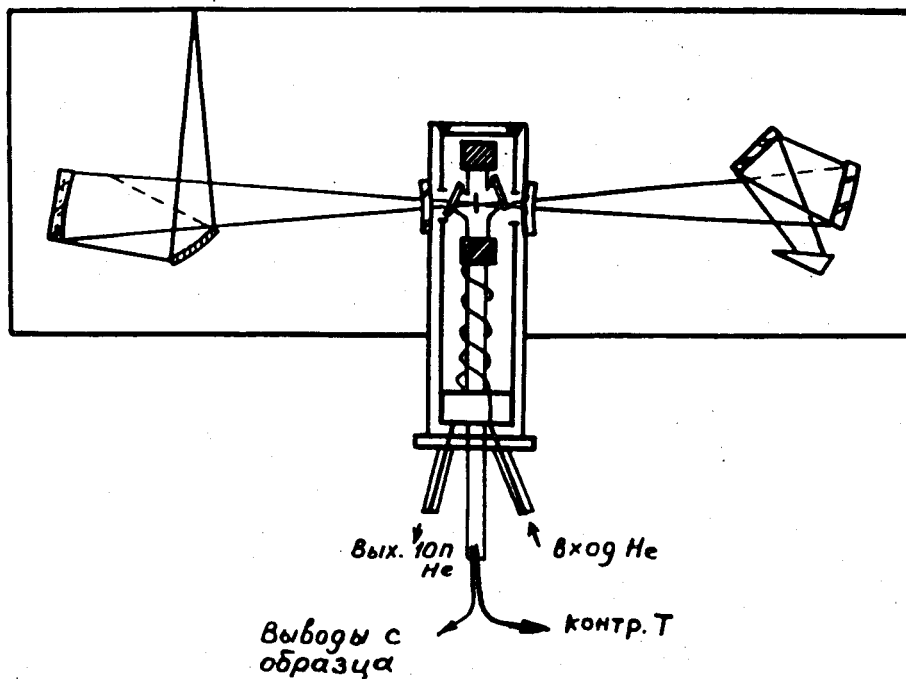
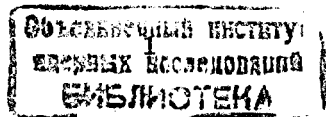


Рис.1. Блок-схема спектрометра с прокачным оптическим криостатом.



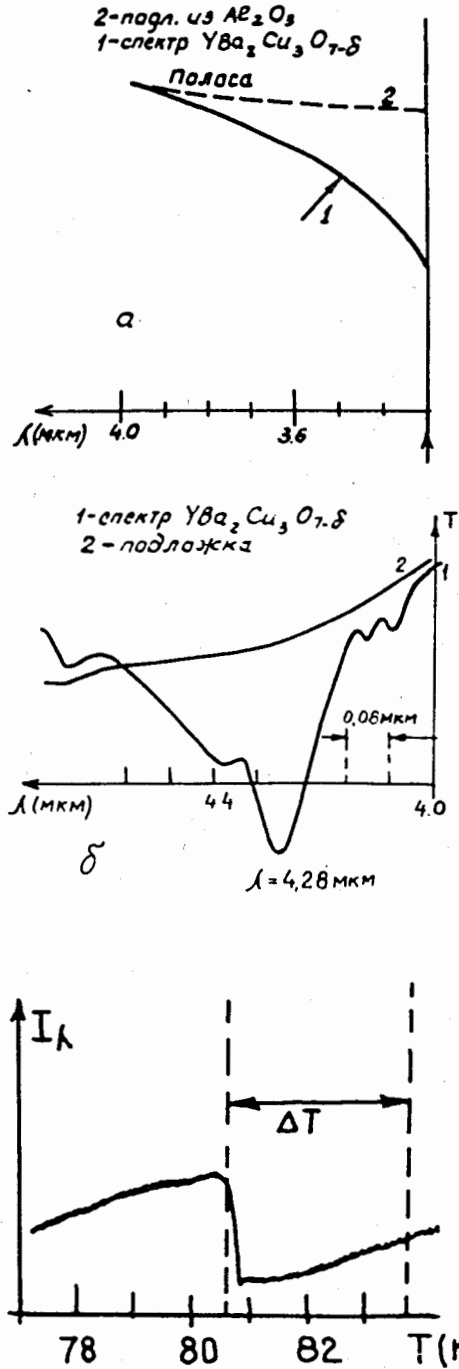


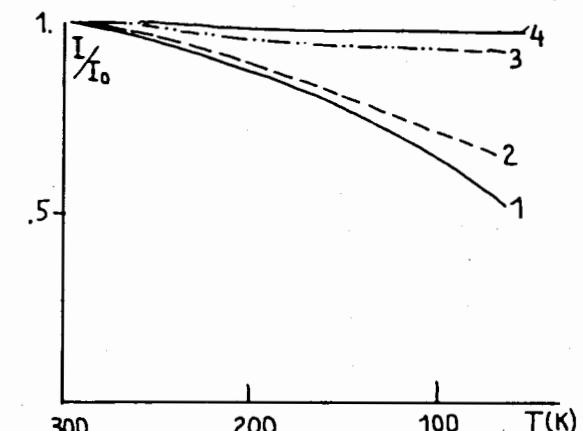
Рис.2. Фрагменты участков спектров пропускания для пленки  $\text{YBa}_2\text{Cu}_3\text{O}_{7-\delta}$  толщиной  $d = 800$  нм.

Исследования спектров поглощения проводились на модифицированном ИК спектрометре ИКС-31, в который был вмонтирован прокачной оптический криостат (рис.1). На первом этапе измерения проводились в интервале температур  $77 \text{ K} \leq T \leq 300 \text{ K}$ . В спектрах пропускания пленки толщиной  $d = 800$  нм обнаружены полосы поглощения (см. рис.2), расположенные на длинах волн  $\lambda = 3,2, 4,3, 5,28 \text{ мкм}$ . При толщине  $d = 100 \text{ нм}$  эти полосы поглощения практически не видны. В деградированных пленках полосы 4,3 и 5,28 мкм не наблюдались, а для полосы  $\lambda = 3,3 \text{ мкм}$  поглощение увеличивается примерно вдвое.

Проводились детальные исследования спектров пропускания при охлаждении образцов в криостате до азотной температуры. В процессе измерений был обнаружен скачок в спектре поглощения вблизи азотной температуры (рис.3). Контрольные исследования показали, что этот скачок связан с конденсацией азота на внутренних окнах криостата. При заполнении внутренней рубашки криостата гелием аномалии в спектрах пропускания исчезли.

Рис.3. Фрагмент аппаратурного спектра пропускания пленки вблизи азотной температуры.

Рис.4. Зависимость относительного пропускания сверхпроводящих пленок  $\text{YBa}_2\text{Cu}_3\text{O}_{7-\delta}$  от температуры.



При охлаждении образцов (1-2-3) до  $T = 77 \text{ K}$  обнаружены следующие закономерности:

1. В интервале длин волн  $2-6 \text{ мкм}$  с изменением температуры в сверхпроводящих пленках увеличивается поглощение (рис.4). Кривая 1 соответствует пленке с переходом  $T_{\text{CO}} = 92 \text{ K}$ ,  $T_{\text{CI}} = 85 \text{ K}$ ; кривая 2 —  $T_{\text{CO}} = 87 \text{ K}$ ,  $T_{\text{CI}} = 82 \text{ K}$ . Кривая 3 соответствует пленкам, у которых сверхпроводящие свойства деградировали, кривая 4 — пропускание подложки.

2. При охлаждении пленки (1-2-3) толщиной  $d = 800 \text{ нм}$  изменяется поглощение в линии  $\lambda = 5,26 \text{ мкм}$  (рис.5). В работе<sup>12</sup> был измерен ход пропускания в зависимости от температуры в области длин волн  $\lambda \geq 100 \text{ мкм}$ , который имеет аналогичный характер. Интерпретация этой зависимости проводилась в рамках предположения о поглощении излучения свободными носителями. Отсюда делалось утверждение о том, что проводимость обратно пропорциональна температуре, поскольку наблюдается квадратичный рост пропускания излучения от температуры  $D(T)$ :

$$D(T) = 4 \int z_0 \sigma(T) d \Gamma^2,$$

где  $\sigma$  — проводимость,  $d$  — толщина пленки,  $z_0$  — коэффициент.

Для наших измерений зависимость пропускания от температуры является более

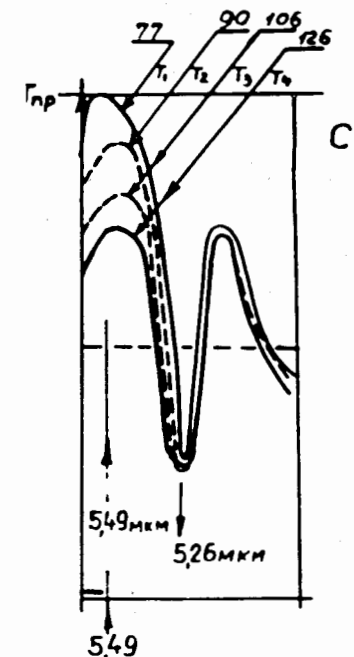


Рис.5. Зависимость профиля линии поглощения  $\lambda = 5,49 \text{ мкм}$  от температуры для пленки  $\text{YBa}_2\text{Cu}_3\text{O}_{7-\delta}$  толщиной  $d = 800 \text{ мкм}$ .

плавной:  $D \sim T^{1/2}$  и, соответственно,  $\sigma \sim T^{-1/4}$ . Является фактом также отсутствие температурной зависимости поглощения пленки в тетрагональной фазе.

#### ЛИТЕРАТУРА

1. Renk K.F. et al. — Physica C, 1989, 162-164, p.1085-1086.
2. Ose W. et al. — Physica C, 1989, 162-164, p.1081-1082.
3. Chromik S. et al. — Appl. Phys. Lett., 1990, 56(22), p.2237-2239.

Рукопись поступила в издательский отдел  
12 мая 1991 года.